

# I-214 薄肉鋼ラーメン隅角部の曲げ特性

法政大学 正員。山下 清明

まえがき 都市部の高架構造などに、鋼薄肉平板で立体的に構成されたラーメン隅角部構造がしばしば採用される。このような構造の設計方法としては、L.S.Beedle の理論を基礎とし、隅角部ウェブのせん断応力の分布形状に対する修正ヒ、フランジ応力へのモデル化計算で得られるせん断あくれによる応力の考慮を行う方法が提案されている。しかし、隅角部ウェブ厚増加や斜補剛材の存在に伴う影響は明らかではない。ここでは、純曲げをうける直線直角型ラーメン隅角部を有限要素法によつて解析し、それらによる影響を調べる。

解析方法 隅角部を構成する平板は主に Shear 作用によつて外力に抵抗すると考えられるので、ここでは板の Plate 作用を無視し先に発表した 2 次元有限要素法による薄肉立体構造の解析法を適用した。また Reuss の仮定より導びかれた塑性域における応力-歪関係式をもちい、荷重漸増法によつて弾塑性的な解析をおこなつた。

計算モデル 図 1 に示す隅角部構造を対象とし、表 1 のモデルを解析した。梁部断面は共通である。対称性を考慮し、各平板を図 1 のうる要素群に分割する。荷重は純曲げモーメントと等価な節点力群を梁端面に作用させる。鋼材は  $\sigma_y = 2400 \text{ kg/mm}^2$  とし、歪硬性特性は考慮しなかつた。

弾性時特性 応力分布：隅角部内点近傍の内フランジにおける直応力の板中方向分布を図 2 に示す。W 型の応力分布は奥村博士によるものと似ているが、ウェブ近傍でそれと越える傾向を示す。斜補剛材によつて応力分布は均一化されるが、平均応力を増加させている。各型式、板厚変化による影響はあまりなかつた。図 3 にフランジ内の直応力軸方向分布と隅角部ウェブ内せん断応力分布を示す。外フランジでは H 型の場合直応力が隅角部端部まで達している。中央線上では W 型の場合、梁領域からすでに応力の低下が始まっている。ウェブ近傍においては、W, D 型とも内点付近で弾塑理論より増加する傾向がみられる。しかしいずれの場合にも内点より梁高程

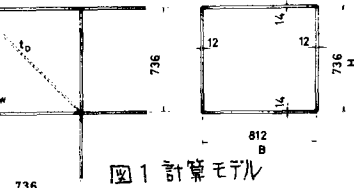


図 1 計算モデル

表 1 型式

type	$t_w$	$t_d$
W12	12	-
W18	18	-
W24	24	-
D10	12	10
D20	12	20

図 4 回転角の着目線

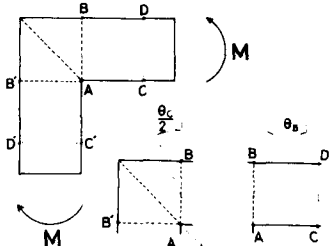


図 2. フランジ内応力分布  
(板中方向)

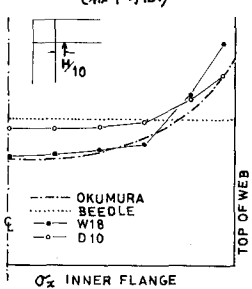


図 3 直応力、せん断応力分布(軸方向、内側)

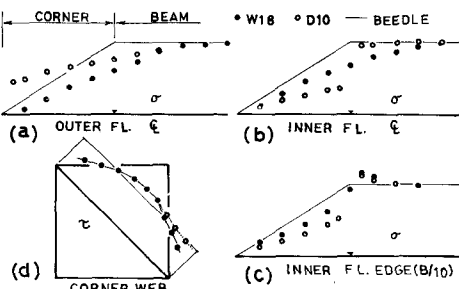


表 2. 弾性時剛性

	$K_T$		$K_C$		$K_B$	
	F	B	F	B	F	B
W12	76	81	57	91	91	100
	76	46	59	114		
W18	85	89	77	90	116	100
	85	56	74	117		
W24	91	94	95	89	117	100
	91	63	85	100		
D10	89	91	78	96	107	100
	89	67	77	100		
D20	95	96	90	98	105	100
	95	80	90	105		

F:FINITE B:BEEDLE (%)

度離れば單純理論に収束する。隅角部  
エブのせん断応力は、中央付近で平均せ  
ん断応力を15%程度上まある分布をした。

W18のラーベ厚(3.6cm)より一割程厚い換算ラ  
ーベ厚(3.96cm: Beedle等)を持つD10のせん断応  
力分布がW18とほとんど一致したことより、斜補剛材によつてせん断応力の分布  
形状は変化しないが、その効果は換算ラ  
ーベ厚と等価ではないことが考えられる。

変形：モデル上に2本の着目線A-B-C-D

を設定し(図4)，これら回転角より、隅角部、梁部、複合部分の相等剛性( $E \cdot I_{eq}$ )を求め、表2の $k_c, k_b, k_t$   
に $K_B$ (Beedle)を基準として示す。上段はラーベ、下段は中央線上で求めたものである。C-D面ごとの回転角はエ  
ブと中央部と一致しているが、A-B面では差がみられ、W型の場合に著しい。梁部とほぼ同じ耐荷力を  
持つW18, D10、複合部分の剛性は、等価梁、9割程度であった。

弾塑性特性 変形：荷重漸増法によつて得られたC-D面のM-Φ曲線と、相等剛性の変化を、單純塑  
性理論(P)と比較して図5,6に、各型式の理論降伏値を表3に示す。W  
12は隅角部の強度が不足して早期に降伏する。他のW型はD型より先  
に剛性が低下する傾向を示す。 $M_y=1.0$ 附近での剛性的急激な低下は、  
梁フランジへ全域降伏に起因していた。

塑性領域の進展(図7)：W12, 18の場合は、隅角部エブ中央部分に<sup>I</sup> 主要な降伏が始まり、エブを貫通するように拡大する<sup>II</sup>。

エブが過度に厚いW24は、隅角部より離れた梁フランジが急  
激に降伏する<sup>III</sup>。D10は、まず隅角部エブ内部で降伏が起  
て後、内フランジを斜めに貫通するよう塑性域が進展し、  
球状に拡大して後、外フランジの全域降伏を生ずる。斜補剛  
材は中央部分より降伏が開始した。D20は、<sup>IV</sup>の進行を  
示した。D型にみられた現象は、斜補剛材によるフランジ  
直応力へ均一化と、平均応力へ増加に關係するのではないかと推測される。

図5. M-Φ曲線

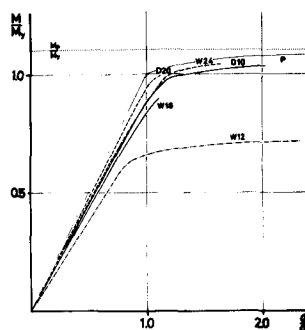


図6. 相等剛性の変化

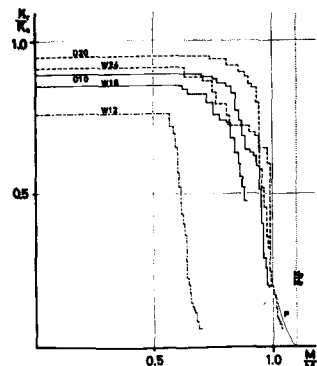
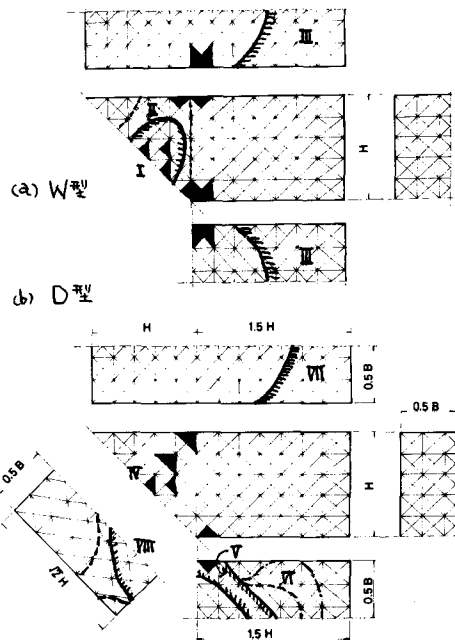


表3. 降伏荷重(理論)

	C <sub>B</sub>	C <sub>O</sub>
W12	62	55
W18	92	83
W24	123	111
D10	102	92
D20	142	128

C: CORNER, B: BEAM B: BEEDLE O: OKUMURA

図7. 塑性域の進展



1) 奥村・石沢 薄板構造ラーメン隅角部の応力計算について  
土木学会論文集 S43.5

2) 第23回国次講演会

3) 山田 弾塑性問題における剛性マトリクス  
住友研究 19巻 3号

・本解析は東大型計算機センターの HITAC 5020E を使用しておこなった。